



Politechnika Wrocławska

POLITECHNIKA WROCŁAWSKA

Sieci neuronowe

Raport z projektu 1

Author:

Łukasz Sokołowski,
Aleksander Pajorski

22 stycznia 2024

Spis treści

1	Zadanie 1	4
1.1	Opis zadania	4
1.2	Dane	4
1.3	Etap projektowania sieci	4
1.4	Implementacja wybranych fragmentów sieci	5
1.5	Użyte parametry sieci	6
1.6	Wpływ funkcji aktywacji na skuteczność działania sieci	6
1.7	Otrzymane wyniki wraz z analizą końcową	8
2	Zadanie 2	11
2.1	Opis zadania	11
2.2	Etap projektowania sieci	11
2.3	Implementacja wybranych fragmentów sieci	11
2.4	Użyte parametry sieci	12
2.5	Wpływ funkcji aktywacji na skuteczność działania sieci	12
2.6	Otrzymane wyniki wraz z analizą końcową	14

Spis rysunków

1	Początkowy szkic projektowanej sieci.	5
2	Zachowanie sieci przy użyciu funkcji <i>ReLU</i> . <i>FinalAcc</i> = 91.88%. . . .	6
3	Zachowanie sieci przy użyciu funkcji <i>Sigmoidalnej</i> . <i>FinalAcc</i> = 61.42%. . . .	7
4	Zachowanie sieci przy użyciu funkcji <i>Tanh</i> . <i>FinalAcc</i> = 76.3%.	7
5	Przykłady ilości neuronów dla zadowalającej skuteczności sieci.	8
6	Przykłady ilości neuronów dla niedouczenia i największej osiągniętej skuteczności sieci.	8
7	Przykłady wartości współczynnika <i>alpha</i> dla zadowalającej skuteczności sieci.	9
8	Przykłady wartości współczynnika <i>alpha</i> dla niedouczenia i przeuczenia sieci.	9
9	Przykłady wartości liczby epok dla zadowalającej skuteczności sieci. . .	10
10	Przykłady wartości ilości epok dla niedouczenia sieci.	10
11	Zachowanie sieci przy użyciu funkcji Sigmoid	13
12	Zachowanie sieci przy użyciu funkcji ReLU	13
13	Zachowanie sieci przy użyciu funkcji Softmax	13
14	10 neuronów, 0 w. ukrytych, 1m epok.	14
15	10 neuronów, 1 w. ukryta, 1m epok.	15
16	10 neuronów, 2 w. ukryte, 1m epok.	15
17	10 neuronów, 3 w. ukryte, 1m epok.	15
18	10 neuronów, 4 w. ukryte, 1m epok.	16
19	30 neuronów, 20 w. ukrytych, 1m epok (Przykład przetrenowania sieci). .	16
20	Współczynnik <i>etha</i> = 1.	17
21	Współczynnik <i>etha</i> = 0.5.	17
22	Współczynnik <i>etha</i> = 0.25.	17
23	Współczynnik <i>etha</i> = 5.	18
24	Współczynnik <i>etha</i> = 50.	18

1 Zadanie 1

1.1 Opis zadania

Zadanie pierwsze polegało na zaprojektowaniu wielowarstwowej sieci neuronowej rozwiązującej prosty problem klasyfikacji polegający na zidentyfikowaniu odręcznie napisanej cyfry na zdjęciu w skali szarości o wymiarach 28px x 28px. Do tego zadania wykorzystano obrazy pochodzące ze zbiorów MNIST, stworzonych z myślą o tworzeniu i projektowaniu klasyfikujących sieci neuronowych.

1.2 Dane

Tak jak wspomniano wcześniej, dane do projektowania oraz późniejszego testowania sieci zostały zaciągnięte ze zbiorów MNIST. Zdjęcia z odręcznie narysowanymi cyframi w skali szarości reprezentowane są przez jeden wiersz w pliku o rozszerzeniu `.csv`, gdzie pierwszy znak opisuje cyfrę przedstawioną na zdjęciu, a każde kolejne 28 wartości z zakresu od 0 do 255 (wartości te są skalowane tak aby przyjmowały wartości (0, 1), zanim zostaną przekazane do sieci) reprezentują kolejny rząd pixeli zdjęcia. Każdy wiersz znaków w tym pliku z osobna reprezentuje jedno przykładowe zdjęcie. Zestawy danych prezentuje się następująco:

- Zestaw danych uczących, które jednocześnie w trakcie uczenia są danymi walidującymi - 40 tysięcy przykładowych zdjęć,
- Zestaw danych testowych - 10 tysięcy przykładowych zdjęć.

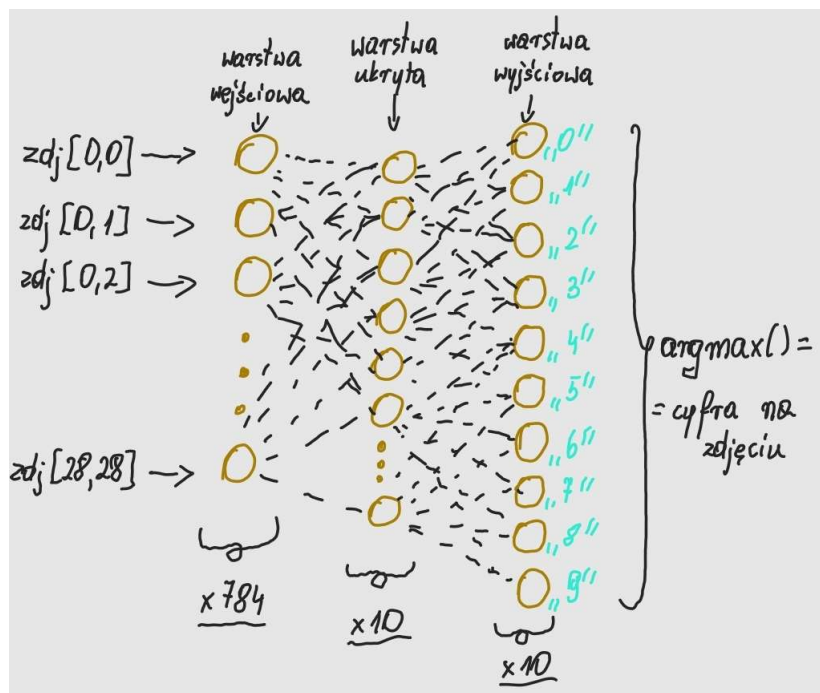
Zestaw danych uczących oraz zestaw danych testowych to dwa osobne zbiory, w których kolejność przykładów jest losowo zmieniana, przed każdym uruchomieniem uczenia się sieci oraz jej testowania.

Zaimplementowana sieć neuronowa w trakcie uczenia się, co określoną liczbę epok, sprawdza w ilu przypadkach propagacji do przodu klasyfikacja sieci zgadza się z opisem jaką liczbę przedstawia dane zdjęcie. Wynik w postaci ułamka wyświetlany jest na bieżąco w konsoli dzięki czemu można nadzorować proces uczenia się sieci.

1.3 Etap projektowania sieci

Do poprawnego zaprojektowania sieci należało w pierwszej kolejności ustalić ilość neuronów w warstwie wejściowej. Sieć przyjmuje obrazy o rozmiarze 28x28 pikseli, co daje 784 wejścia (jeden piksel na jedno wejście). Przy rozmiarze warstw ukrytych zdecydowano się na jedną warstwę ukrytą, z 10 neuronami. W problemie klasyfikacji, gdzie rozpoznajemy cyfry od 0 do 9, użyto 10 neuronów w warstwie wyjściowej tak, że każdy odpowiada konkretnej cyfrze.

Funkcje aktywacji należy dobrać odpowiednio dla problemu, jaki sieć ma rozwiązać. W tym przypadku wykorzystano funkcję aktywacji *ReLU* dla warstw ukrytych i funkcję *softmax* dla warstwy wyjściowej. Wybór funkcji *softmax* jako funkcję aktywacji warstwy wyjściowej sprawia, że sieć na wyjściowych neuronach zwraca wartość prawdopodobieństwa z jaką uważa, że dana liczba znajduje się na zdjęciu.



Rysunek 1: Początkowy szkic projektowanej sieci.

1.4 Implementacja wybranych fragmentów sieci

Wagi, w postaci macierzy, zostały zainicjalizowane przy użyciu funkcji `np.random.rand()` i opisują wagi połączeń pomiędzy warstwami. Wartości *bias*, podobnie jak wartości wag, na samym początku inicjalizowane są jako wartości losowe.

Proces uczenia składa się z dwóch etapów: propagacji do przodu (forward propagation) oraz propagacji wstecznej (backward propagation).

Propagacja do przodu polega na dostarczeniu zdjęcia na wejście sieci i uzyskaniu decyzji. Przy użyciu macierzy wag i biasów, dla każdej warstwy obliczamy wartości na kolejnych neuronach, a ta przekazywana jest później jako argument funkcji *ReLU* (dla warstw ukrytych) i *softmax* (dla warstwy wyjściowej).

Propagacja wsteczna zajmuje się aktualizacją wag i biasów na podstawie uzyskanych wartości błędu. Wykorzystuje ona metodę spadku gradientu, umożliwiając korektę parametrów sieci w kierunku minimalizacji funkcji kosztu.

Jako funkcję kosztu wybraliśmy Średni Błąd Kwadratowy (MSE), który jest powszechnie używany w problemach regresji oraz klasyfikacji, szczególnie w przypadku problemu predykcji cyfr na zbiorze danych MNIST. W funkcji kosztu MSE, dla każdego przykładu treningowego, obliczamy kwadrat różnicy pomiędzy wartością przewidzianą, a rzeczywistą. Następnie sumujemy te kwadraty dla wszystkich przykładów treningowych i uśredniamy, co daje nam ostateczną wartość funkcji kosztu. Wykorzystane MSE jest zdefiniowane wzorem:

$$\text{MSE} = \frac{1}{K_2} \sum_{j_2=1}^{K_2} [t_{j_2} - f(\sum_{j_1=0}^{K_1} w_{j_2,j_1}^{(2)} f(\sum_{i=0}^N w_{j_1,i}^{(2)} x_i^{(1)}))]^2$$

gdzie:

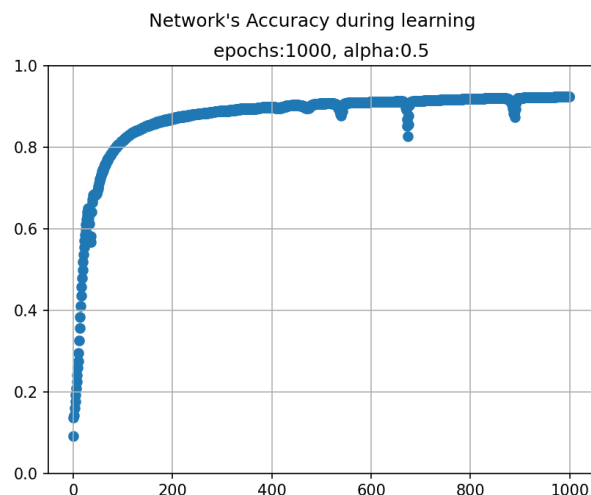
- N - liczba wejść sieci,
- $f()$ - funkcja aktywacji,
- w - macierz z wagami,
- K_1, K_2 - liczba neuronów w obu warstwach sieci

1.5 Użyte parametry sieci

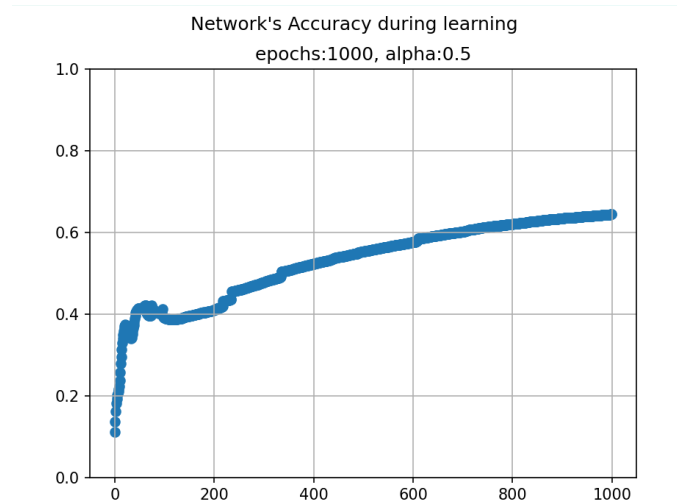
- Liczba wejść: 784 - każdy piksel obsługiwany jest przez osobny neuron,
- Liczba wyjść: 10 - wektor 10-cio elementowy składający się z możliwych kategorii klasyfikacji (0-9),
- Liczba warstw ukrytych: sieć posiada 1 warstwę ukrytą, co jest wystarczające do rozwiązania tego problemu klasyfikacji,
- Liczba neuronów w warstwie ukrytej: 10,
- Współczynnik uczenia $\alpha = 0.5$.

1.6 Wpływ funkcji aktywacji na skuteczność działania sieci

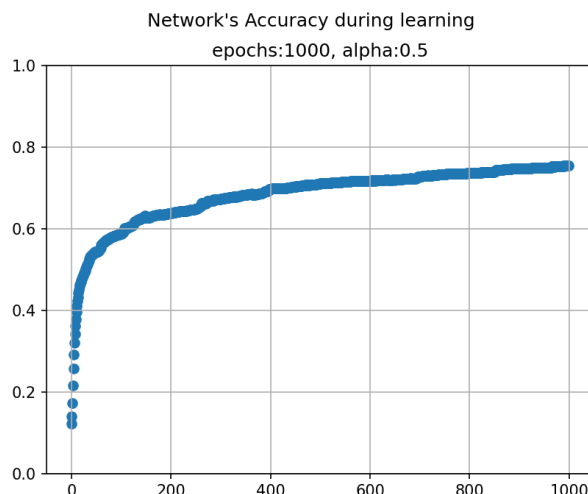
Wyniki przedstawione poniżej zostały uzyskane dla sieci z warstwą ukrytą, składającą się z dziesięciu neuronów. Dodatkowo pod każdym wykresem przedstawiona jest wartość $FinalAcc$, która jest wartością procentową skuteczności sieci dla zbioru danych testowych.



Rysunek 2: Zachowanie sieci przy użyciu funkcji $ReLU$. $FinalAcc = 91.88\%$.



Rysunek 3: Zachowanie sieci przy użyciu funkcji *Sigmoidalnej*. $FinalAcc = 61.42\%$.



Rysunek 4: Zachowanie sieci przy użyciu funkcji *Tanh*. $FinalAcc = 76.3\%$.

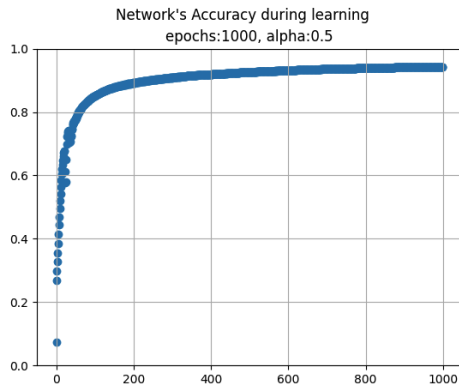
Wnioski:

- *ReLU* - Zgodnie z założeniami, opartymi na znalezionych informacjach o problemie klasyfikacji, jest to najlepsza funkcja dla danego przypadku. W końcowym etapie nauki na wykresie widać lekkie wahania, które na podstawie wykonanych testów, uznano, że zmieniają się wraz ze zmianą współczynnika uczenia α ,
- *Sigmoid* - Funkcja wykazywała pewne problemy, procentowa wartość skuteczności sieci wahała się szczególnie na początku procesu nauki. Również ostateczny wynik nauczania okazał się najslabszym z badanych,
- *Tanh* - Wynik działania sieci z wykorzystaniem funkcji aktywacji *Tanh* był lepszy niż wynik z wykorzystaniem funkcji *Sigmoidalnej*, chociaż w dalszym stopniu gorszy od tego, który zaprezentowała funkcja ReLU.

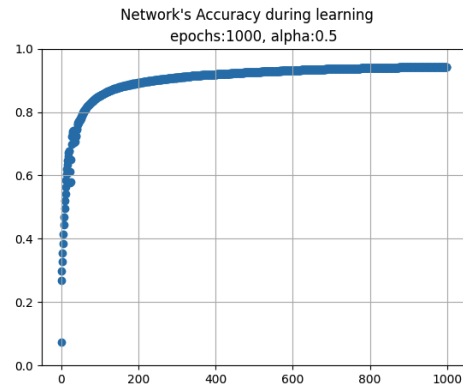
1.7 Otrzymane wyniki wraz z analizą końcową

Na zaimplementowanej sieci wykonano badania, zmieniając kolejno wybrany parametr i analizując wpływ tej zmiany na wynik działania sieci. Analogicznie jak wcześniej, pod każdym wykresem odpowiadającym (niezależnemu od pozostałych) uruchomieniu całego procesu uczenia i testowania sieci, umieszczono wartość procentową *FinalAcc* odpowiadającą skuteczności sieci wyznaczonej na etapie jej testów.

Zmiana ilości neuronów:

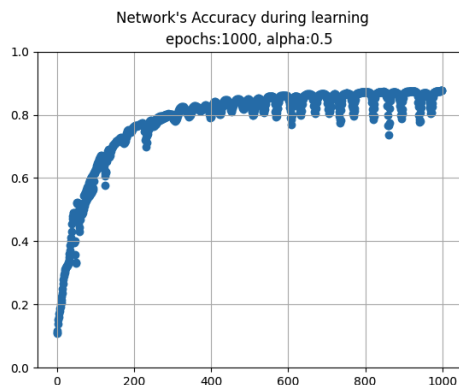


(a) Skuteczność dla 20 neuronów.
FinalAcc = 91.100000000001%.

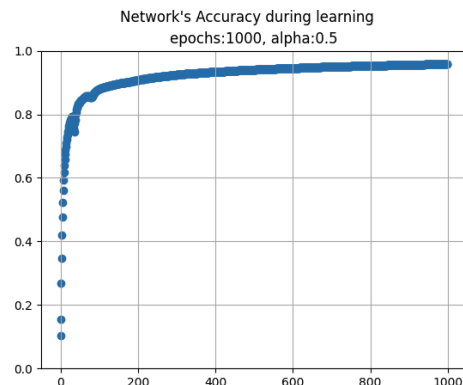


(b) Skuteczność dla 30 neuronów.
FinalAcc = 94.399999999999%.

Rysunek 5: Przykłady ilości neuronów dla zadowalającej skuteczności sieci.



(a) Skuteczność dla 5 neuronów.
FinalAcc = 87.8%.



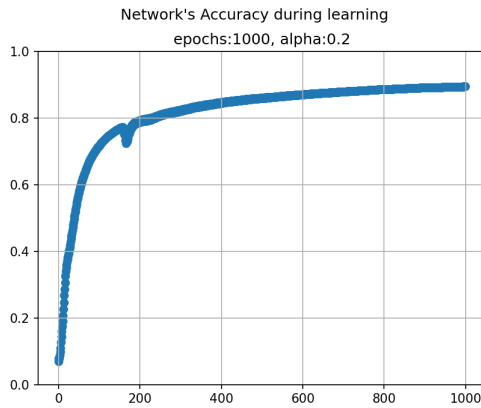
(b) Skuteczność dla 50 neuronów.
FinalAcc = **95.38%**.

Rysunek 6: Przykłady ilości neuronów dla niedouczenia i największej osiągniętej skuteczności sieci.

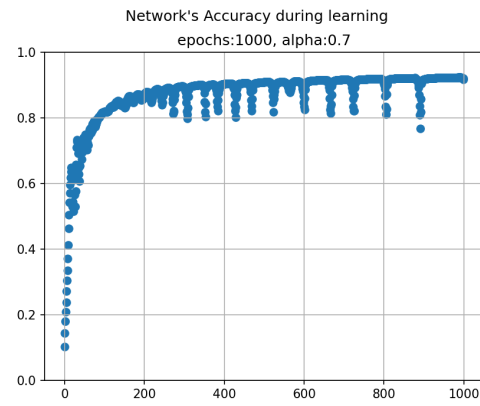
Na podstawie powyższych przykładowych badań i wielu innych, wywnioskowano, że zwiększanie ilości neuronów w warstwie ukrytej wpływa tylko i wyłącznie na

zwiększanie się wartości skuteczności sieci lub ze względu na brak możliwości testów na posiadanym sprzęcie, wartość liczby neuronów skutkująca przeuczeniem sieci, nie została osiągnięta.

Zmiana wartości współczynnika uczenia α :

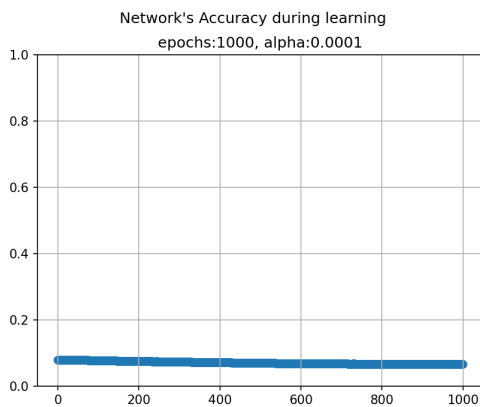


(a) Skuteczność dla $\alpha = 0.2$.
 $FinalAcc = 89.34\%$.

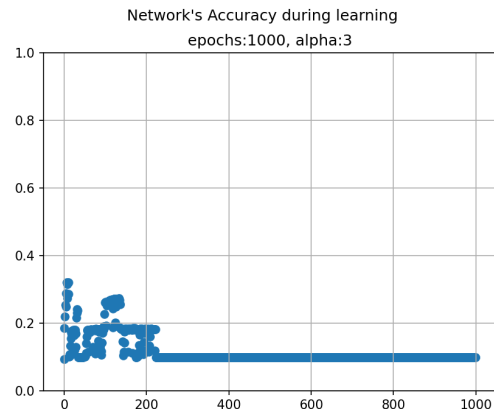


(b) Skuteczność dla $\alpha = 0.7$.
 $FinalAcc = 91.42$.

Rysunek 7: Przykłady wartości współczynnika α dla zadowalającej skuteczności sieci.



(a) Skuteczność dla $\alpha = 0.0001$.
 $FinalAcc = 6.81\%$.



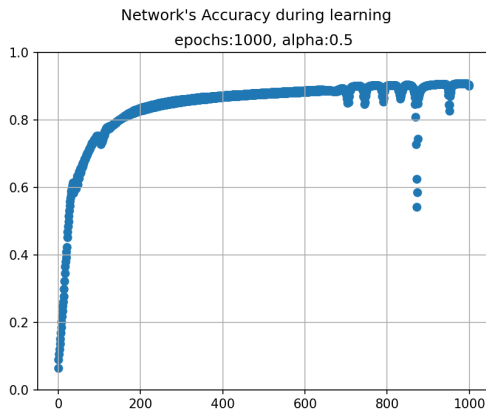
(b) Skuteczność dla $\alpha = 3$.
 $FinalAcc = 10.6\%$.

Rysunek 8: Przykłady wartości współczynnika α dla niedouczenia i przeuczenia sieci.

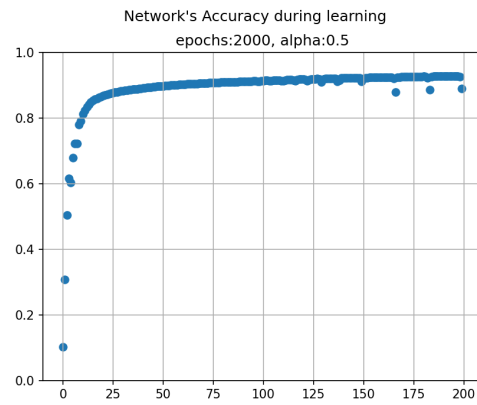
Na podstawie powyższych przykładowych badań i wielu innych, wywnioskowano, że optymalna wartość α zawiera się w przedziale $(0.2, 0.7)$, w którym nie wpływa znacząco na wartość skuteczności sieci. Zbyt duża wartość współczynnika

α skutkuje przeuczeniem sieci (Rysunek 8b). Badano również niższe wartości (Rysunek 8a), co doprowadziło do uzyskania niedouczenia przy $\alpha = 0.0001$.

Zmiana ilości epok w procesie uczenia:

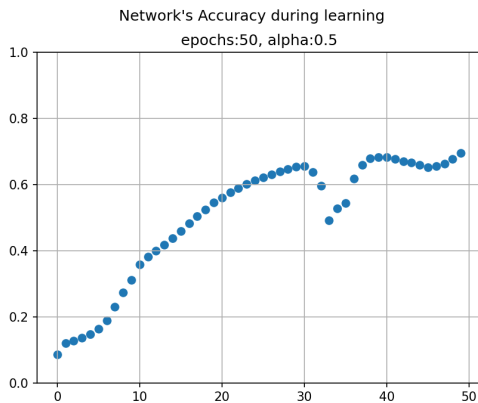


(a) Skuteczność dla ilości epok = 1000.
 $FinalAcc = 89.4\%$.

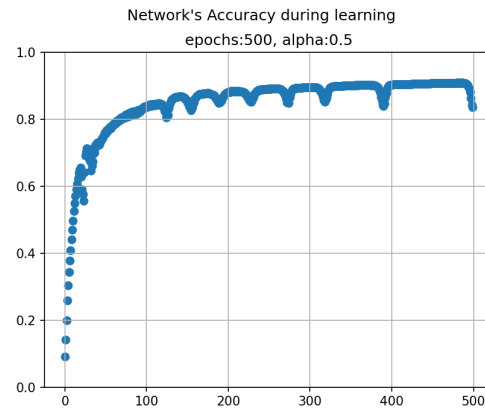


(b) Skuteczność dla ilości epok = 2000.
 $FinalAcc = 92.3\%$.

Rysunek 9: Przykłady wartości liczby epok dla zadowalającej skuteczności sieci.



(a) Skuteczność dla ilości epok = 50.
 $FinalAcc = 70.62\%$.



(b) Skuteczność dla ilości epok = 500.
 $FinalAcc = 83.88\%$.

Rysunek 10: Przykłady wartości ilości epok dla niedouczenia sieci.

Podobnie jak w przypadku ilości neuronów w warstwie ukrytej, w trakcie eksperymentowania nie udało się osiągnąć przuczenia poprzez zwiększenie liczby epok. Wysłany został ten sam wniosek co poprzednio - dal tego problemu nie da się osiągnąć przetrenowania poprzez zwiększanie liczby epok albo nie jesteśmy w stanie na posiadanych urządzeniach zasymulować takiego przypadku.

Wnioski ogólne:

Efekt przetrenowania sieci udało się osiągnąć tylko w 1 z 3 przeprowadzonych testów co najprawdopodobniej spowodowane jest ograniczeniami sprzętowymi. Najlepsza osiągnięta skuteczność sieci wynosi **95.38%**, a zostało to osiągnięte dla następujących parametrów:

- 1000 epok,
- $\alpha = 0.5$,
- 50 neuronów,
- funkcja aktywacji - *ReLU*

2 Zadanie 2

2.1 Opis zadania

Zadanie opierało się na wykorzystaniu sieci neuronowej do aproksymacji danych dotyczących poziomu wody w morzu. Jako dane uczące sieć wykorzystano gotowe wartości poziomu wody mierzone co godzinę, natomiast zadaniem zaprojektowanej sieci było stwierdzenie jakie wartości występowały pomiędzy pomiarami. Zdecydowano, że sieć będzie aproksymować poziom wody w odstępach 6 minutowych.

t[h]	0	1	2	3	4	5	6	7	8	9	10
h(t) [m]	1.0	1.32	1.6	1.54	1.41	1.01	0.6	0.42	0.2	0.51	0.8

Tabela 1: Zmierzone poziomy wody, jako zestaw danych uczących i walidujących.

2.2 Etap projektowania sieci

W projekcie zadaniem było stworzenie sieci neuronowej aproksymującej funkcję jednej zmiennej. Na wejście funkcji doprowadzano wartość czasu, a sieć zwracała dla danego argumentu wartość poziomu wody. Na etapie projektowania ustaliliśmy, że dla takiej aproksymacji warstwa wejściowa i wyjściowa sieci będą miały po jednym neuronie. Parametr β , który wpływa na funkcję aktywacji *sigmoid*, został ustawiony na 1.25 na podstawie eksperymentów i ich analizy. Jako mechanizmy kontroli sieci zastosowaliśmy algorytm wstecznej propagacji błędów do uczenia sieci. Jako funkcję kosztu wybraliśmy Średni Błąd Kwadratowy (MSE), która jest powszechnie stosowana do problemów regresji.

2.3 Implementacja wybranych fragmentów sieci

Wagi i biasy zostały zainicjalizowane przy użyciu funkcji `np.random.rand()`, a biasy zostały początkowo ustawione na zero. Do aktywacji neuronów w warstwach ukrytej i wyjściowej zdecydowaliśmy się na funkcję *sigmoid*. Jej wzór to:

$$\text{sigmoid}(x) = \frac{1}{1 + e^{-\beta x}}$$

W związku z tym, że funkcja działa w ograniczonym zakresie, wartości zostały dopasowane poprzez ich przeskalowanie. Jako funkcję kosztu wybraliśmy średni błąd kwadratowy (MSE).

Proces propagacji składa się z dwóch etapów: propagacji do przodu (forward propagation) oraz propagacji wstecznej (backward propagation). Pierwszy obejmuje obliczenie wartości na kolejnych warstwach, natomiast drugi polega na aktualizacji wag i biasów na podstawie uzyskanych błędów wykorzystując do tego metodę spadku gradientu.

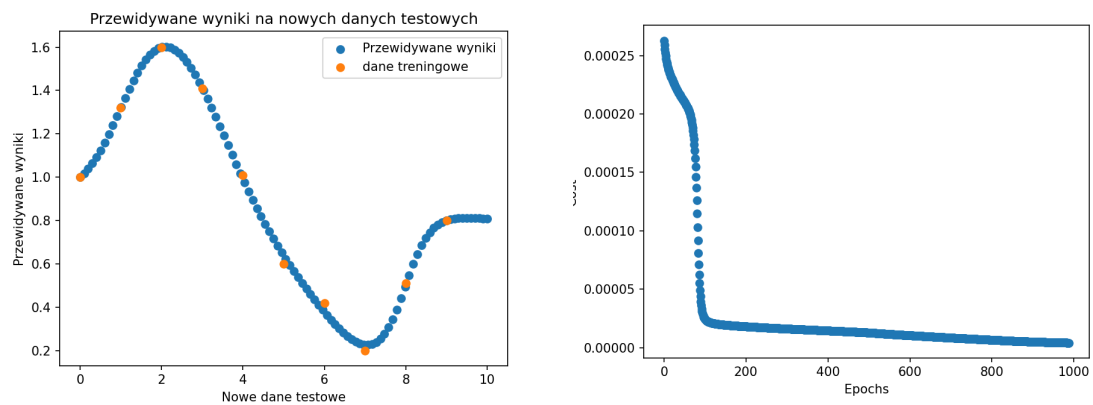
2.4 Użyte parametry sieci

- Liczba warstw ukrytych: W naszym przypadku najlepiej sprawdziło się 2 warstwy ukryte. Należy pamiętać jednak, że nie jest to wartość uniwersalna, i dla bardziej złożonych funkcji może ulec zmianie, i będzie konieczność dodania warstw,
- Liczba neuronów w warstwie ukrytej: W naszym przypadku najlepiej sprawdziło się 10 neuronów na warstwę. Należy pamiętać jednak, że nie jest to wartość uniwersalna, i dla bardziej złożonych funkcji może ulec zmianie, i będzie konieczność dodania neuronów w warstwie,
- Liczba wejść: 1 - sieć aproksymująca funkcję jednej zmiennej powinna zawierać jedno wejście,
- Liczba wyjść: 1 - sieć aproksymująca funkcję jednej zmiennej powinna zawierać jedno wyjście,
- Współczynnik uczenia $\alpha = 0.1$.

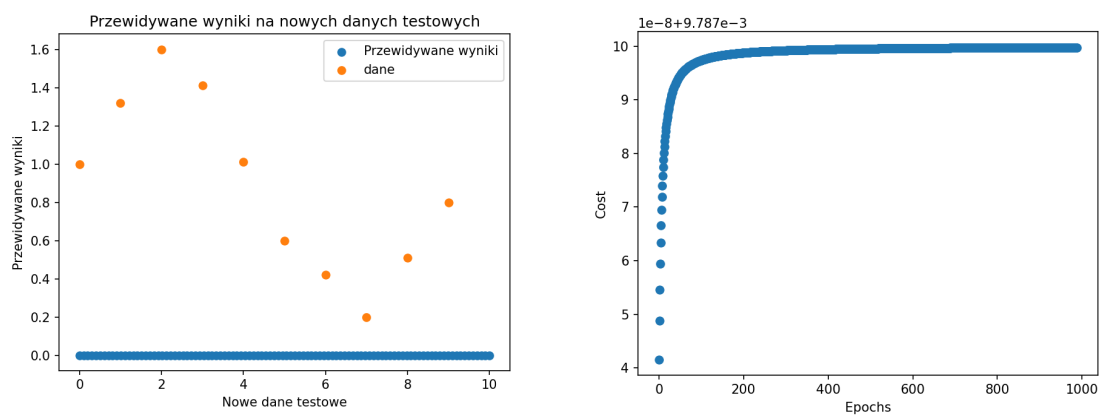
W następnych etapach przedstawiono zapamiętane parametry sieci, które gwarantowały największą skuteczność oraz efekty działania sieci dla granicznych wartości parametrów w celu prezentacji efektów niedouczenia bądź przeuczenia.

2.5 Wpływ funkcji aktywacji na skuteczność działania sieci

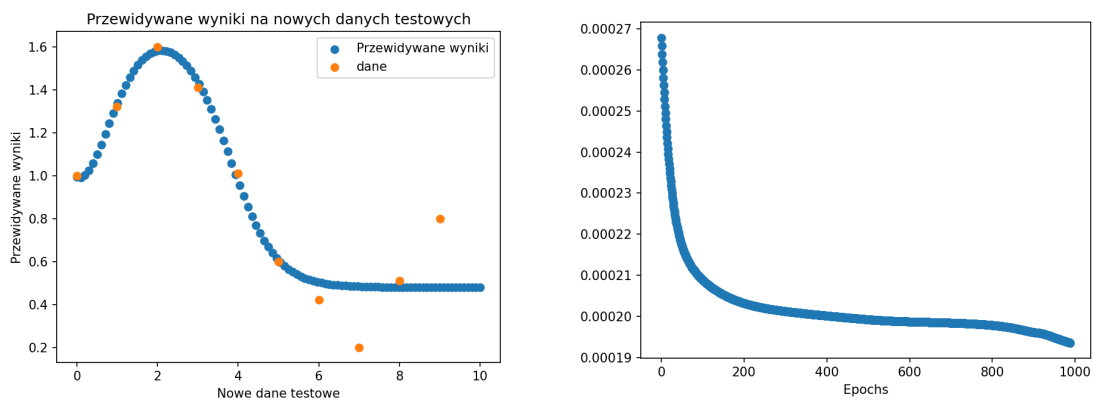
W tym punkcie zajęto się badaniem zachowania sieci przy użyciu różnych funkcji aktywacji. Każda z prób została przeprowadzona dla sieci o 2 warstwach ukrytych, każdej po 10 neuronów oraz procesie uczenia trwającego 1000 epok.



Rysunek 11: Zachowanie sieci przy użyciu funkcji Sigmoid



Rysunek 12: Zachowanie sieci przy użyciu funkcji ReLU



Rysunek 13: Zachowanie sieci przy użyciu funkcji Softmax

Wnioski:

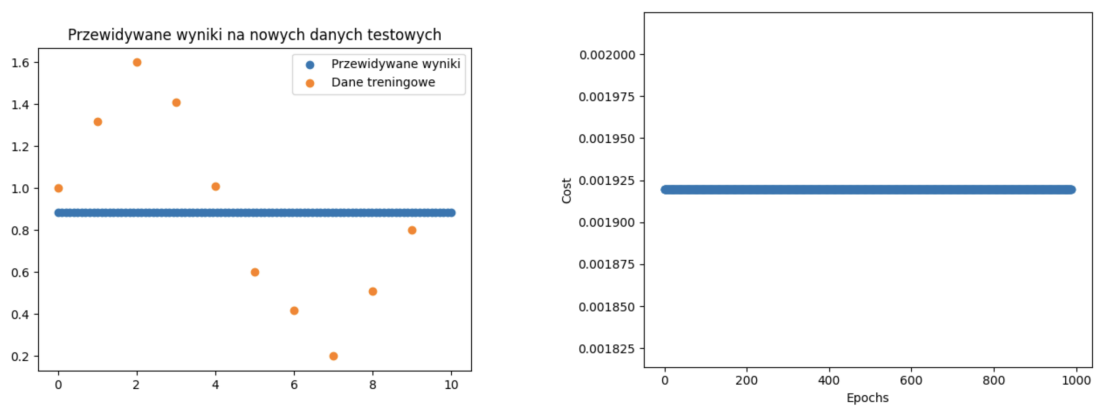
- *Sigmoid* - zgodnie z oczekiwaniami, jest to najlepsza funkcja dla problemu aproksymacji,
- *ReLU* - jej natura linii prostej oraz braku przegięcia uniemożliwiła sieci poprawną aproksymację,
- *Softmax* - ta funkcja przy problemie aproksymacji poradziła sobie tylko przy pierwszej zmianie kierunku kolejnych wartości, jednak dalej softmax ustabilizowała aproksymowaną wartość w jednym punkcie, co spowodowało pominięcie drugiego przegięcia.

2.6 Otrzymane wyniki wraz z analizą końcową

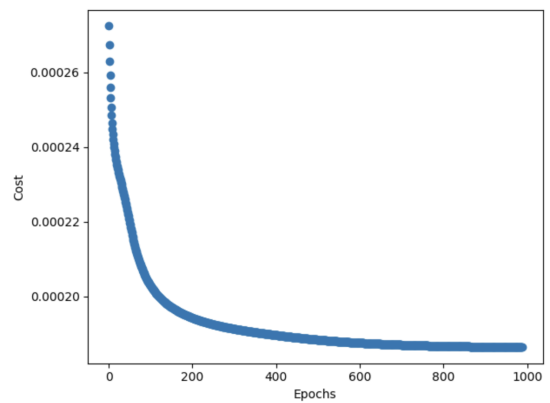
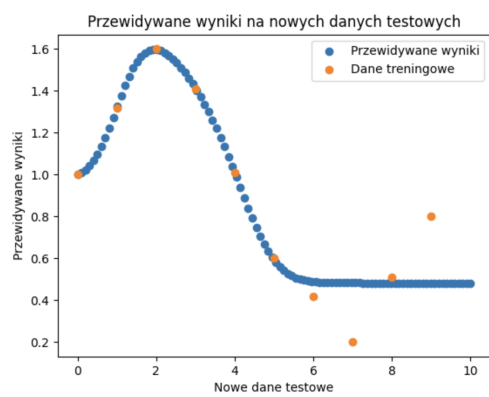
Po przeprowadzeniu treningu na dostarczonych danych otrzymaliśmy aproksymowane wyniki na nowych danych testowych. Wyniki te zostały przedstawione na wykresach, gdzie porównaliśmy je z rzeczywistymi danymi treningowymi. Treningi wykonywane były dla miliona epok, a wykres błędu w czasie został przedstawiony, aby zobaczyć, jak zmienia się on w trakcie uczenia.

Wykresy wraz z opisem zawierającym użyte parametry w sieci z sigmoidalną funkcją aktywacji:

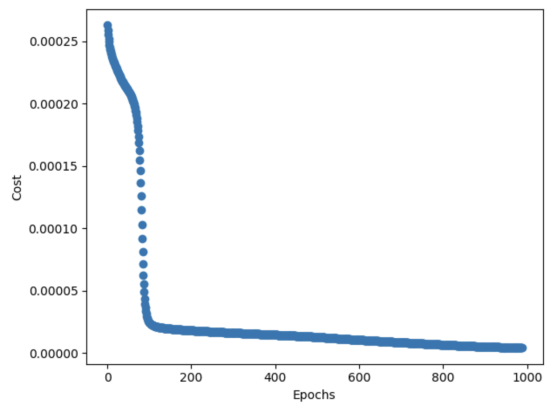
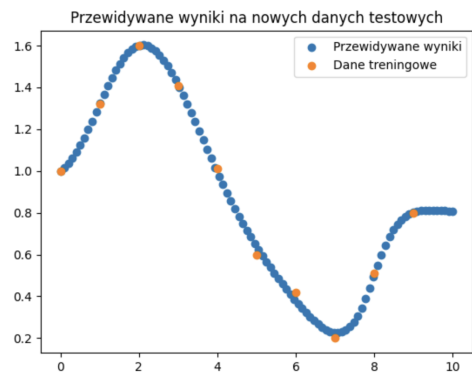
Zmiana liczby warstw ukrytych:



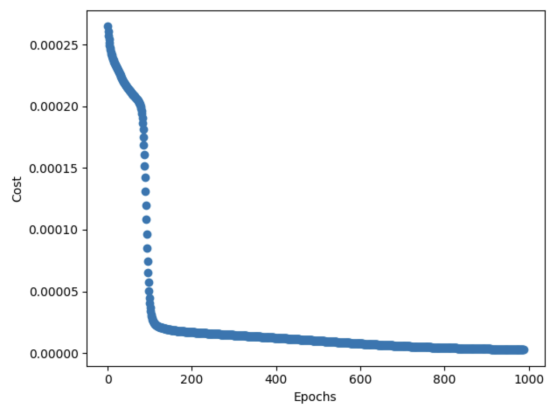
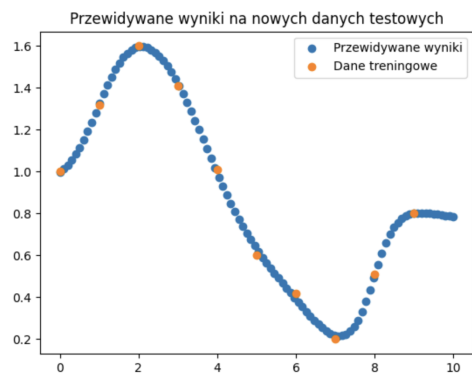
Rysunek 14: 10 neuronów, 0 w. ukrytych, 1m epok.



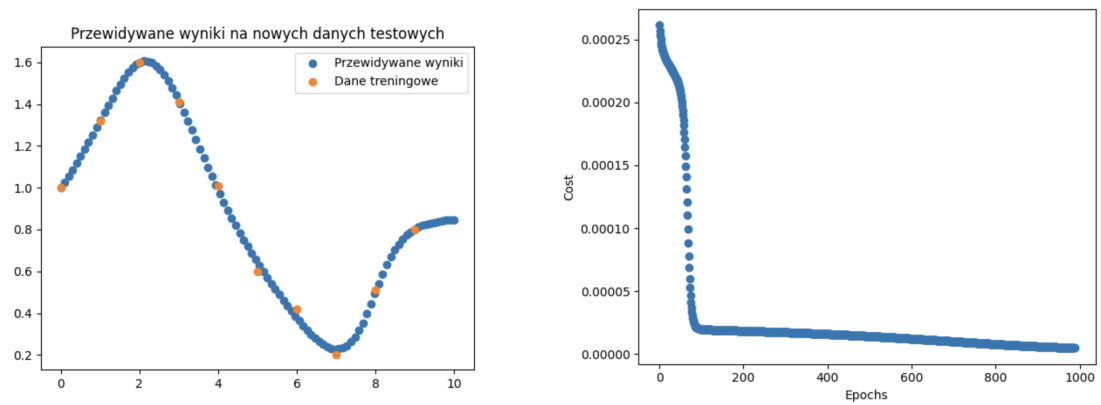
Rysunek 15: 10 neuronów, 1 w. ukryta, 1m epok.



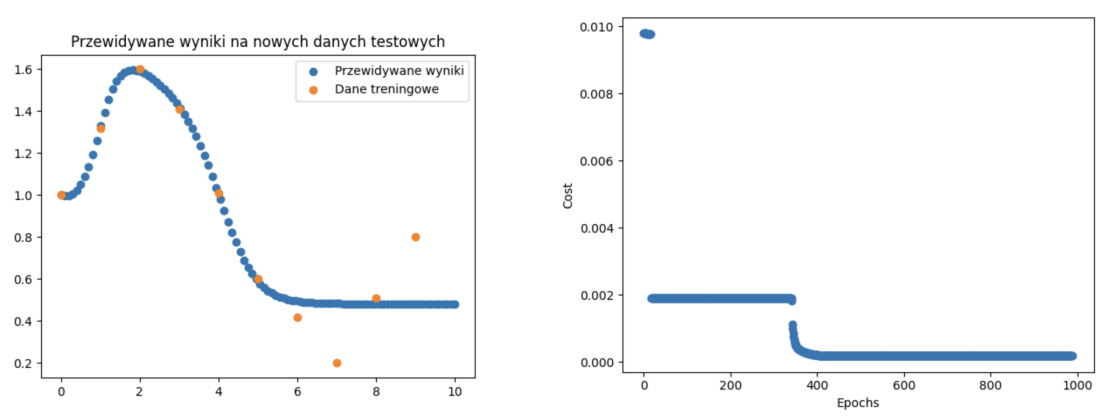
Rysunek 16: 10 neuronów, 2 w. ukryte, 1m epok.



Rysunek 17: 10 neuronów, 3 w. ukryte, 1m epok.



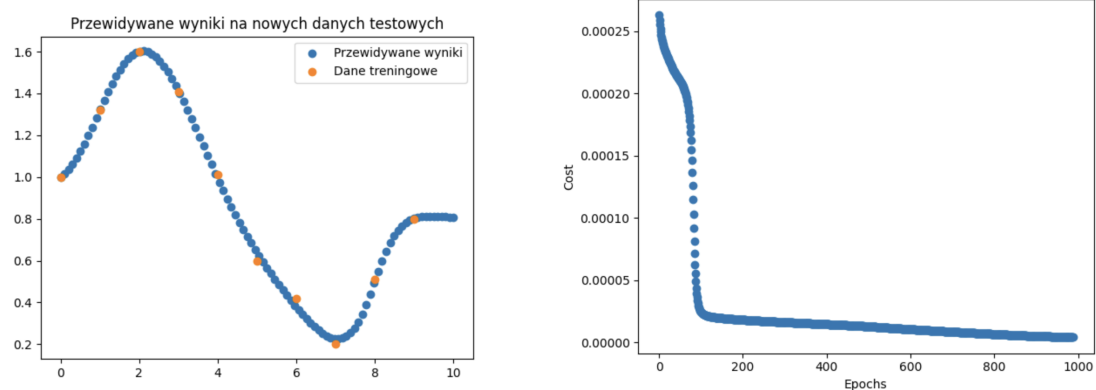
Rysunek 18: 10 neuronów, 4 w. ukryte, 1m epok.



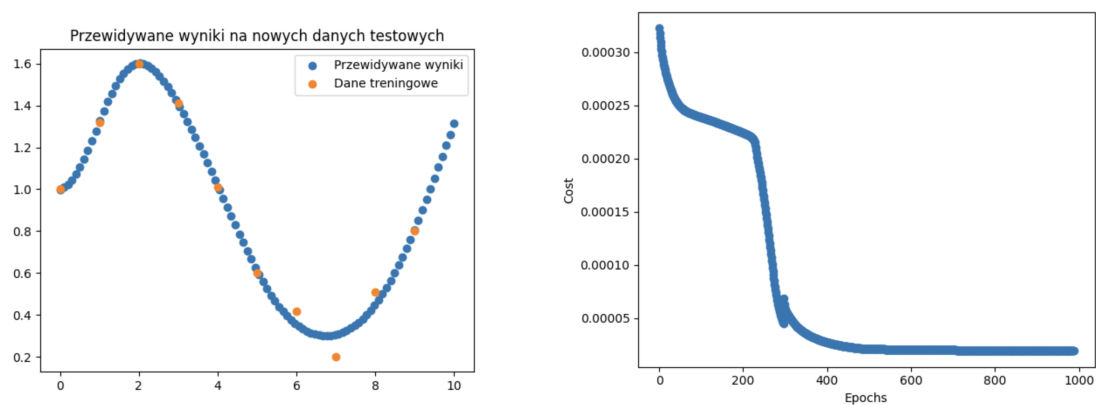
Rysunek 19: 30 neuronów, 20 w. ukrytych, 1m epok (Przykład przetrenowania sieci).

Z powyższych wykresów można wywnioskować, że dla danego problemu minimalnym rozmiarem do poprawnej ilości przebiegów w funkcji aproksymowanej ilość warstw ukrytych wynosi 2, a zwiększanie jej w pewnym momencie zaczyna zmniejszać skuteczność aproksymacji sieci. Skuteczność zauważalnie spada, gdy liczba warstw ukrytych sieci przewyższy liczbę neuronów w warstwie oraz gdy obie te liczby osiągają rząd wartości większy niż 20.

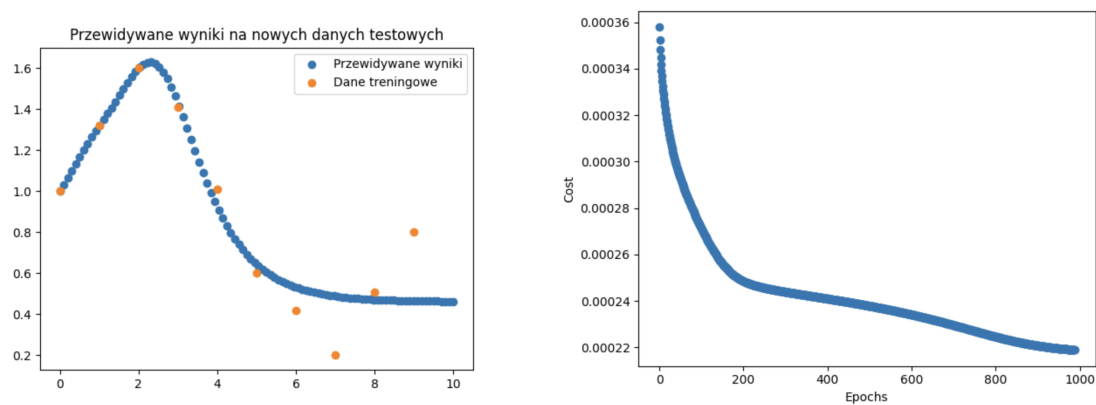
Zmiana współczynnika uczenia etha :
(na sieci 10 neuronów, 2 warstwy ukryte, 1m epok)



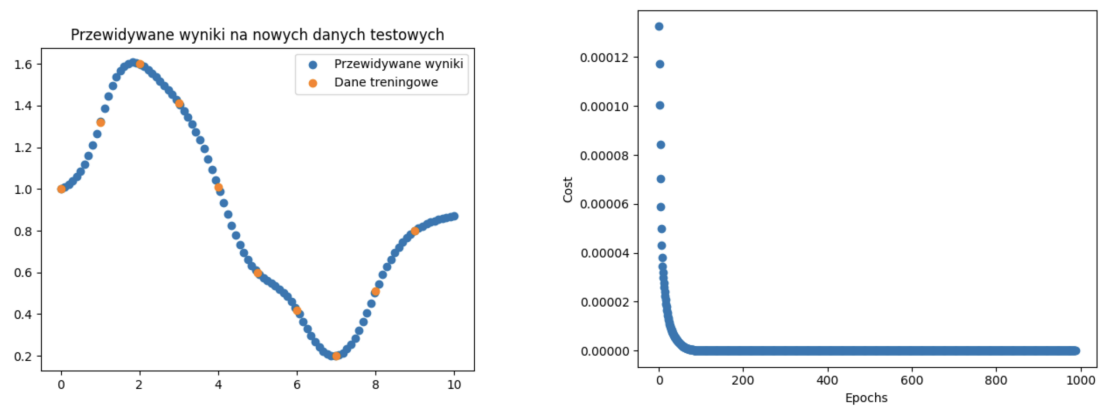
Rysunek 20: Współczynnik $\text{etha} = 1$.



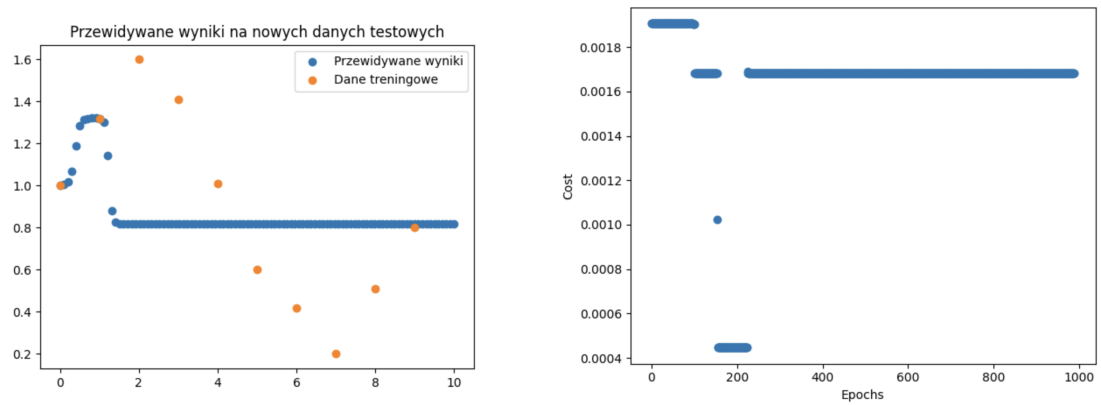
Rysunek 21: Współczynnik $\text{etha} = 0.5$.



Rysunek 22: Współczynnik $\text{etha} = 0.25$.



Rysunek 23: Współczynnik $\eta = 5$.



Rysunek 24: Współczynnik $\eta = 50$.

Powyższe wykresy pokazują wpływ zmiany współczynnika uczenia na skuteczność sieci. Można zauważyć że podobnie jak w poprzednich parametrach, wartość współczynnika posiada swój zakres w którym działa, lepiej bądź gorzej, ale działa. Poza tym zakresem przy dolnej granicy dochodzi do niedouczenia, natomiast nad górną granicą wartości występuje przeuczenie, które całkowicie zaburza skuteczność sieci.